

Vision Transformers para a Classificação de Cianobactérias a partir de Imagens

Rafael Prates Quevedo¹,
Bruno Boessio Vizzotto¹, Elder de Macedo Rodrigues¹,
Rodrigo Brandão Mansilha¹, Eliezer Soares Flores¹

¹ Universidade Federal do Pampa (UNIPAMPA) 97546-550 - Alegrete - RS - Brasil

rafaelquevedo@unipampa.edu.br

{brunovizzotto, elderrodrigues}@unipampa.edu.br

{rodrigomansilha, eliezerflores}@unipampa.edu.br

Abstract. Water quality is affected by the presence of cyanobacteria, whose identification by traditional methods is slow and/or inaccurate. State-of-the-art approaches based on convolutional neural networks (CNNs) have limitations in capturing global spatial relationships. This work proposes the use of Transformer-based architectures as a feature extractor for the classification process. The proposed system outperformed a MobileNet-based alternative, achieving a weighted F1-Score of 96.89% on an imbalanced test set. The results highlight the potential of Transformers to automate cyanobacteria identification, demonstrating robustness in scenarios with class imbalance.

Resumo. A qualidade da água é afetada pela presença de cianobactérias, cuja identificação por métodos tradicionais é lenta e/ou imprecisa. Abordagens baseadas em redes neurais convolucionais (CNNs) possuem limitações na captura de relações espaciais globais. Este trabalho propõe o uso de arquiteturas baseadas em Transformadores como extrator de características para o processo de classificação. O sistema proposto superou uma alternativa baseada em MobileNet, alcançando um F1-Score ponderado de 96,89% em um conjunto de teste desbalanceado. Os resultados evidenciam o potencial dos Transformadores para automatizar a identificação de cianobactérias, demonstrando robustez em cenários com desbalanceamento de classes.

1. Introdução e Trabalhos Relacionados

As cianobactérias, apesar de seu papel ecológico, podem produzir toxinas perigosas à saúde humana e animal [Chorus and Welker 2021], tornando seu monitoramento essencial. A identificação tradicional por microscopia manual é um processo lento, caro e suscetível a erros [Zamyadi et al. 2016]. Métodos alternativos frequentemente exigem equipamentos sofisticados ou pessoal altamente especializado [MacKeigan et al. 2022, Dashkova et al. 2017].

Para automatizar essa tarefa, foram propostos métodos de aprendizado profundo, especialmente Redes Neurais Convolucionais (*Convolutional Neural Network*, CNNs). Por exemplo, [Kianian et al. 2024] adotaram uma abordagem em duas etapas, onde, após a extração de características por uma CNN, uma rede *Multi-Layer Perceptron* (MLP) foi

empregada para a classificação final que processou os vetores de características aprendidos para atribuí-los a um dos dez gêneros de cianobactérias, demonstrando ser uma etapa crucial para a alta precisão alcançada pelo modelo. Contudo, as CNNs são inherentemente limitadas em sua capacidade de modelar relações espaciais de longo alcance nas imagens, devido à natureza local de suas operações de convolução [Khan et al. 2022].

Recentemente, os *Vision Transformers* (ViTs) [Dosovitskiy et al. 2020] surgiram como uma alternativa promissora, capaz de capturar o contexto global da imagem através de mecanismos de autoatenção. Este artigo propõe um sistema que usa um ViT como extrator de características para melhorar a precisão e a robustez da classificação, especialmente em cenários com dados desbalanceados.

2. Materiais e Métodos

Utilizamos a base de imagens CTCB (*Classification of Toxigenic Cyanobacteria*) disponibilizada por [Kianian et al. 2024], com 2591 imagens microscópicas de 10 gêneros de cianobactérias tóxicas representadas em Figura 1, divididas em conjunto de treino, contendo 2073 imagens e conjunto de teste, possuindo 518 imagens. As imagens foram redimensionadas para 224×224 pixels e normalizadas de modo que os valores dos pixels fiquem no intervalo $[-1, 1]$ em cada canal RGB.

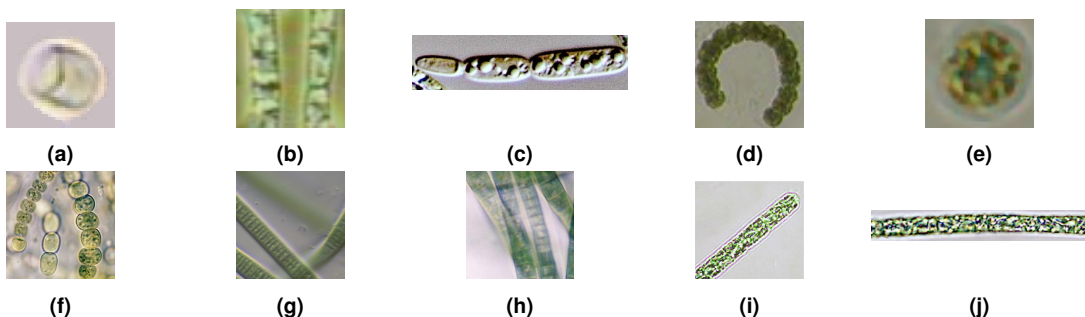


Figura 1. Exemplo das bactérias contidas no dataset: (a) *anabaena*, (b) *aphanizomenon*, (c) *cylindrospermopsis*, (d) *dolichospermum*, (e) *microcystis*, (f) *nostoc*, (g) *oscillatoria*, (h) *phormidium*, (i) *planktothrix* e (j) *raphidiopsis*.

O fluxo de trabalho extração de características analisa cada imagem para identificar seus padrões visuais mais genéricos (como formas, texturas e cores). Em seguida, ele converte essa análise em um vetor de características, que é uma espécie de “resumo numérico” da imagem. Finalmente, esses vetores são enviados para um módulo de classificação, que aprende a usar esses resumos numéricos para atribuir um rótulo a cada imagem como ilustrado na Figura 2.

Para a extração de características, avaliamos três modelos ViT pré-treinados: ViT-B, ViT-L [Dosovitskiy et al. 2020], e DINO [Caron et al. 2021]. O vetor de características foi obtido do *token* CLS da última camada. Esses vetores alimentaram quatro classificadores da biblioteca *Scikit-Learn*: *Support Vector Machine* (SVM), *Multilayer Perceptron* (MLP), *Random Forest* e *K-Nearest Neighbors* (KNN).

Os classificadores foram ajustados com os seguintes hiperparâmetros: para o SVM, o parâmetro de regularização (C) assumiu os valores 10^{-1} , 1, 10, 10^2 e 10^3 ; para a MLP, avaliou-se modelos com uma camada oculta (com $H = 50$ ou $H = 100$ neurônios)

ou duas camadas ocultas (com $H = 50$, $H = 100$ ou $H = 200$ neurônios em cada uma das camadas ocultas), limite máximo de 200 épocas de treinamento, sendo ReLU a função de ativação, otimizador ADAM¹ com $\alpha = 0,001$, $\beta_1 = 0,9$, $\beta_2 = 0,999$ e $\epsilon = 10^{-8}$, *cross entropy* como função de perda com $\lambda = 0.0001$; para a Random Forest, o número de árvores T foram avaliados 10, 50, 100, 200 e 500; e para o KNN baseado em distância euclidiana, o número de vizinhos K assumiu os valores 1, 3, 5, 7 e 9.

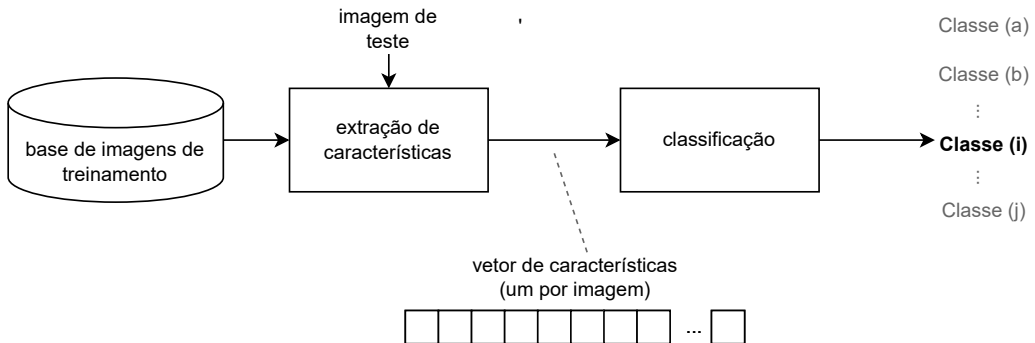


Figura 2. Fluxo de trabalho do sistema proposto.

3. Resultados e Discussão

Foi aplicada uma validação cruzada com cinco *folds* sobre as 2073 imagens para avaliar os hiperparâmetros. Optou-se por não utilizar a validação cruzada aninhada (*nested cross-validation*) pois o foco primário é encontrar a melhor configuração classificador-hiperparâmetros, e não a estimativa mais imparcial de generalização (*performance estimation*). A métrica de desempenho final para cada configuração de hiperparâmetros foi calculada como a média dos resultados obtidos nas cinco iterações.²

A combinação que proporcionou melhores resultados, otimizada via validação cruzada, é o extrator DINO com o classificador KNN ($K = 1$). Comparamos este modelo com o de [Kianian et al. 2024], que usa *MobileNetV2* e MLP, sob as mesmas condições experimentais. Os principais resultados no conjunto de teste são apresentados na Tabela 1.

Tabela 1. Resultados preliminares obtidos usando a alternativa proposta em [Kianian et al. 2024] (topo) e as variantes selecionadas do modelo proposto (demais linhas).

Extrator	Classificador	Hiperparâmetro	Acurácia Ponderada	F1-Score Ponderado	F1-Score Macro
MobileNetV2	MLP		94,79%	94,91%	87,64%
DINO	KNN	$K = 1$	91,34%	96,89%	91,35%
ViT-B	MLP	$H = 200$	83,72%	93,73%	80,64%
ViT-L	KNN	$K = 1$	80,41%	95,61%	82,18%

Embora o modelo baseado em CNN apresente uma acurácia ponderada superior (3,45%), nossa abordagem baseada em *Transformer* obteve um desempenho melhor nas

¹ α é a taxa de aprendizagem inicial; λ é a regularização l_2 ; β_1 e β_2 são as taxas de decaimento dos gradientes; ϵ é a constante de estabilidade numérica empregada para evitar divisões por zero.

²Todos os códigos utilizados nos experimentos foram disponibilizados publicamente em <https://github.com/rafaelrpq/classificadores>.

métricas *F1-Score* Ponderado (1,98%) e no *F1-Score Macro* (3,71%). O *F1-Score Macro* é especialmente relevante em *datasets* desbalanceados [He and Garcia 2009], pois trata todas as classes com igual importância. Isso indica que o sistema baseado em *Transformer* é mais robusto, uma vez que possui a capacidade de modelar relações globais na imagem, e generaliza melhor para as classes minoritárias.

4. Conclusão

Este trabalho sugere que arquiteturas baseadas em *Transformers* constituem alternativas promissoras às CNNs no contexto da classificação de cianobactérias. Os resultados obtidos encorajam o desenvolvimento de novos sistemas automatizados de monitoramento da qualidade da água baseados em *Transformers*, potencialmente permitindo detecções mais rápidas e precisas.

Como trabalhos futuros, planejamos aprimorar os modelos por meio de *finetuning*, a fim de especializar ainda mais as características extraídas, explorar o aprendizado contrastivo para aprimorar a distinção entre classes e empregar testes de significância estatística para uma avaliação mais rigorosa dos classificadores.

Referências

- Caron, M., Touvron, H., Misra, I., Jégou, H., Mairal, J., Bojanowski, P., and Joulin, A. (2021). Emerging properties in self-supervised vision transformers.
- Chorus, I. and Welker, M. (2021). *Toxic cyanobacteria in water: A guide to their public health consequences, monitoring and management*. Taylor & Francis, London, 2 edition.
- Dashkova, V., Malashenkov, D., Poulton, N., Vorobjev, I., and Barteneva, N. S. (2017). Imaging flow cytometry for phytoplankton analysis. *Methods*, 112:188–200.
- Dosovitskiy, A., Beyer, L., Kolesnikov, A., Weissenborn, D., Zhai, X., Unterthiner, T., Dehghani, M., Minderer, M., Heigold, G., Gelly, S., et al. (2020). An image is worth 16x16 words: Transformers for image recognition at scale. *arXiv preprint arXiv:2010.11929*.
- He, H. and Garcia, E. A. (2009). Learning from imbalanced data. *IEEE Transactions on Knowledge and Data Engineering*, 21(9):1263–1284.
- Khan, S., Naseer, M., Hayat, M., Zamir, S. W., Khan, F. S., and Shah, M. (2022). Transformers in vision: A survey. *ACM Computing Surveys*, 54(10s):1–41.
- Kianian, I., Mottaqi, M. S., Mohammadipanah, F., and Sajedi, H. (2024). Automated identification of toxigenic cyanobacterial genera for water quality control purposes. *Journal of Environmental Management*, 362.
- MacKeigan, P. W., Garner, R. E., Monchamp, M.-È., Walsh, D. A., Onana, V. E., Kraemer, S. A., Pick, F. R., Beisner, B. E., Agbeti, M. D., da Costa, N. B., et al. (2022). Comparing microscopy and DNA metabarcoding techniques for identifying cyanobacteria assemblages across hundreds of lakes. *Harmful Algae*, 113:102187.
- Zamyadi, A., Choo, F., Newcombe, G., Stuetz, R., and Henderson, R. K. (2016). A review of monitoring technologies for real-time management of cyanobacteria: Recent advances and future direction. *TrAC Trends in Analytical Chemistry*, 85:83–96.